

LICANOL, UM NOVO FLAVANOL, E OUTROS CONSTITUÍNTES DE *Licania macrophylla* Benth

Fernando Antônio de Medeiros, Alessandra A. N. Medeiros

Instituto de Pesquisas Científicas e Tecnológicas do Amapá, 68900-260 Macapá - AP, Brasil

Josean Fechine Tavares, José Maria Barbosa Filho, Edeltrudes de Oliveira Lima e Marcelo Sobral da Silva\*

Departamento de Ciências Farmacêuticas, Centro de Ciências da Saúde, Universidade Federal da Paraíba, 58051-900 João Pessoa - PB, Brasil

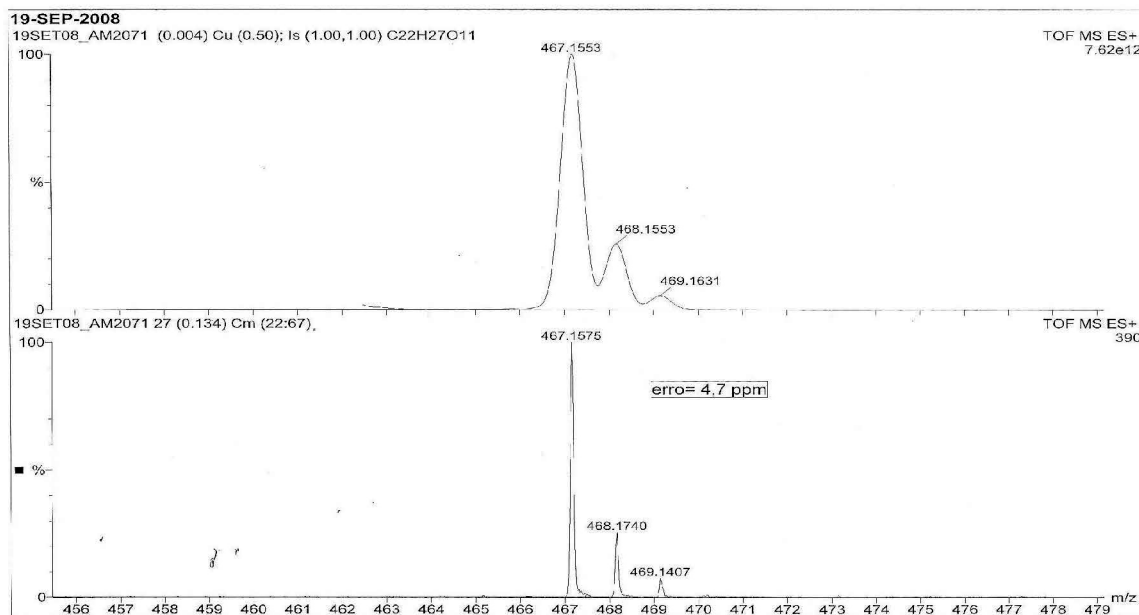


Figura 1S. Espectro de massas de alta resolução de 1

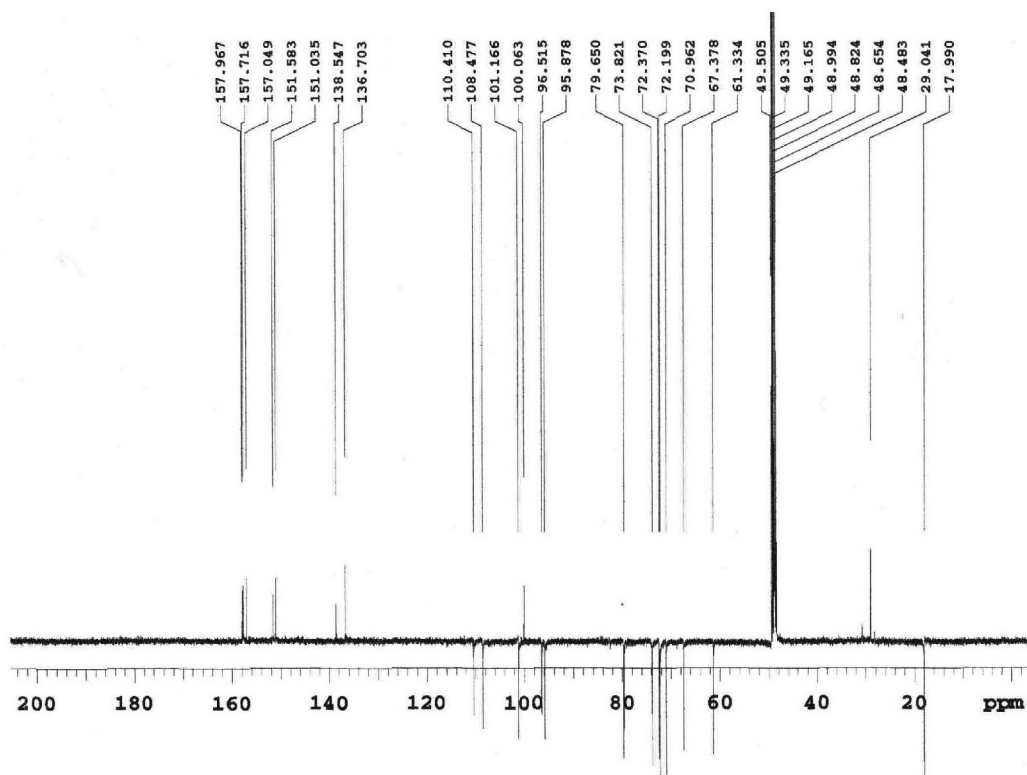


Figura 2S. Espectro de RMN <sup>13</sup>C-APT de 1 (125 MHz, CD<sub>3</sub>OD, δ em ppm)

\*e-mail: marcelosobral@Itf.ufpb.br

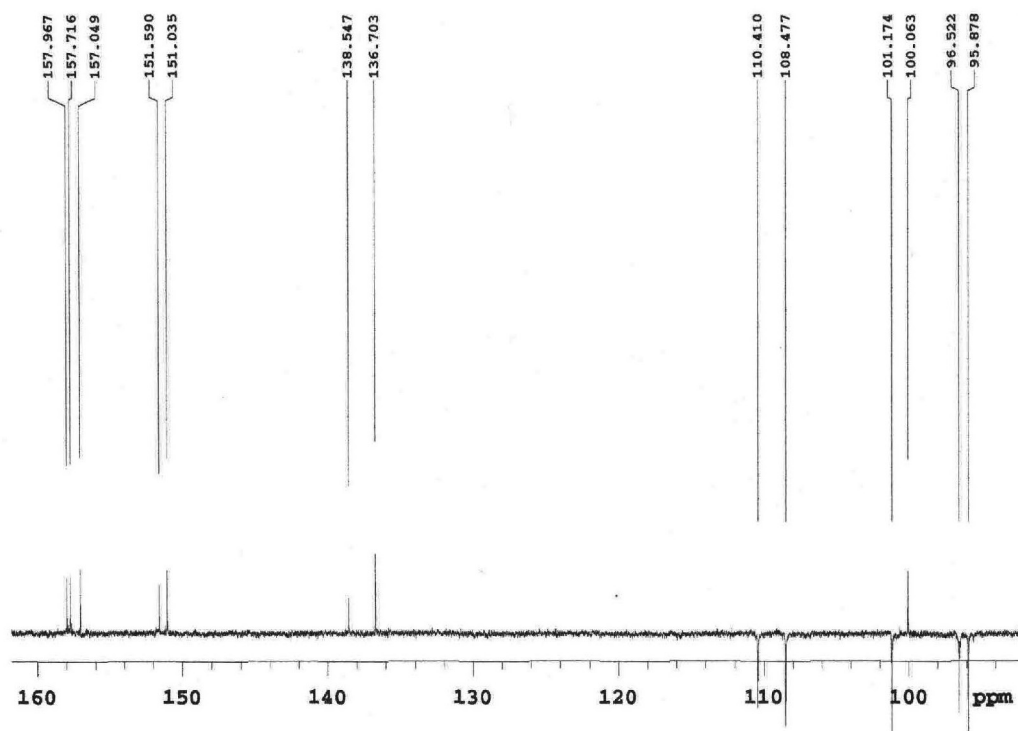


Figura 3S. Expansão do espectro de RMN  $^{13}\text{C}$ -APT de 1 na região entre  $\delta_{\text{C}}$  95-157

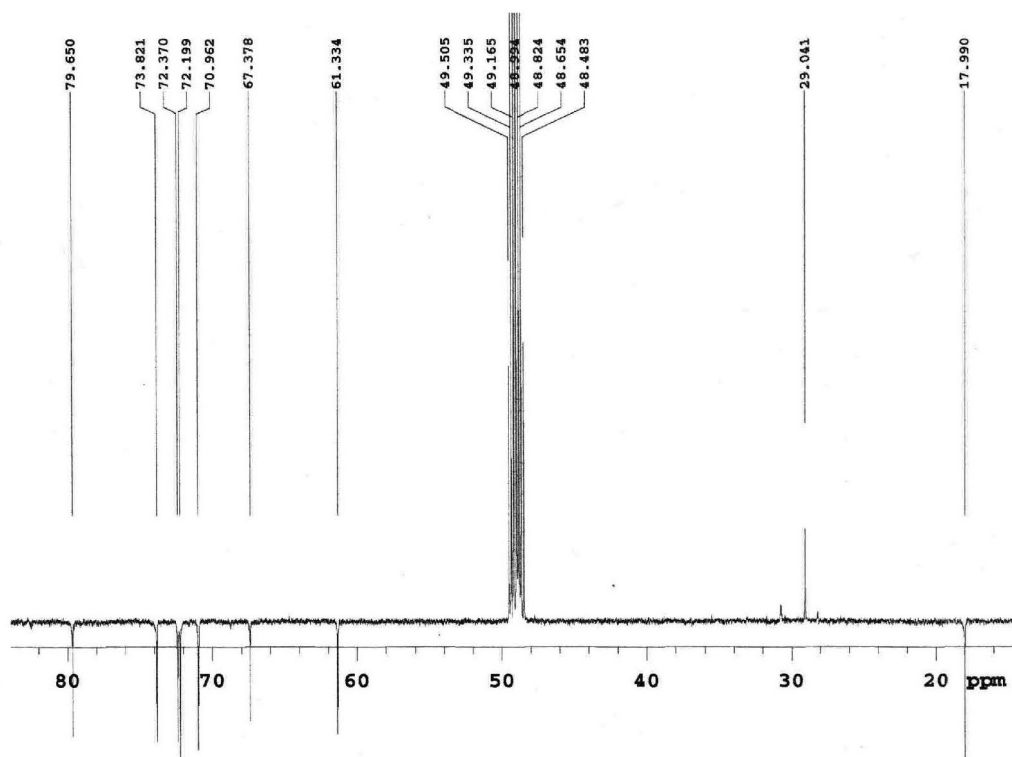


Figura 4S. Expansão do espectro de RMN  $^{13}\text{C}$ -APT de 1 na região entre  $\delta_{\text{C}}$  17-79

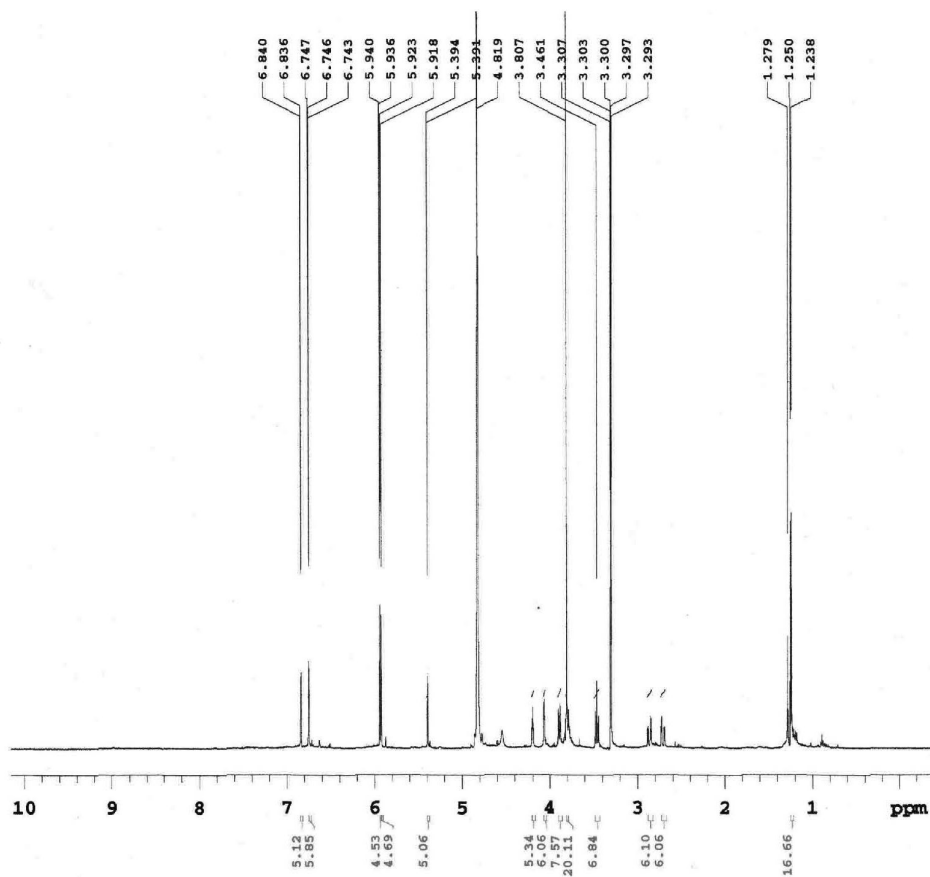


Figura 5S. Espectro de RMN  $^1\text{H}$  de **1** (500 MHz,  $\text{CD}_3\text{OD}$ ,  $\delta$  em ppm)

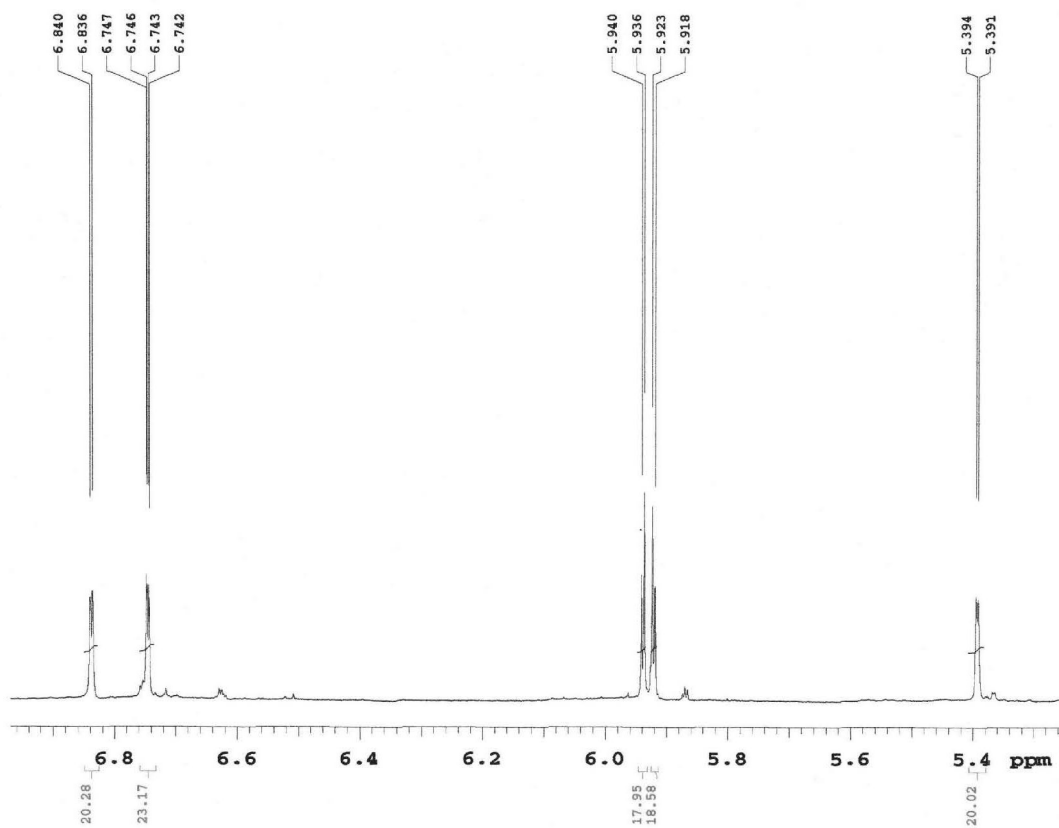


Figura 6S. Expansão do espectro de RMN  $^1\text{H}$  de **1** na região entre  $\delta_{\text{H}}$  5,4-6,80

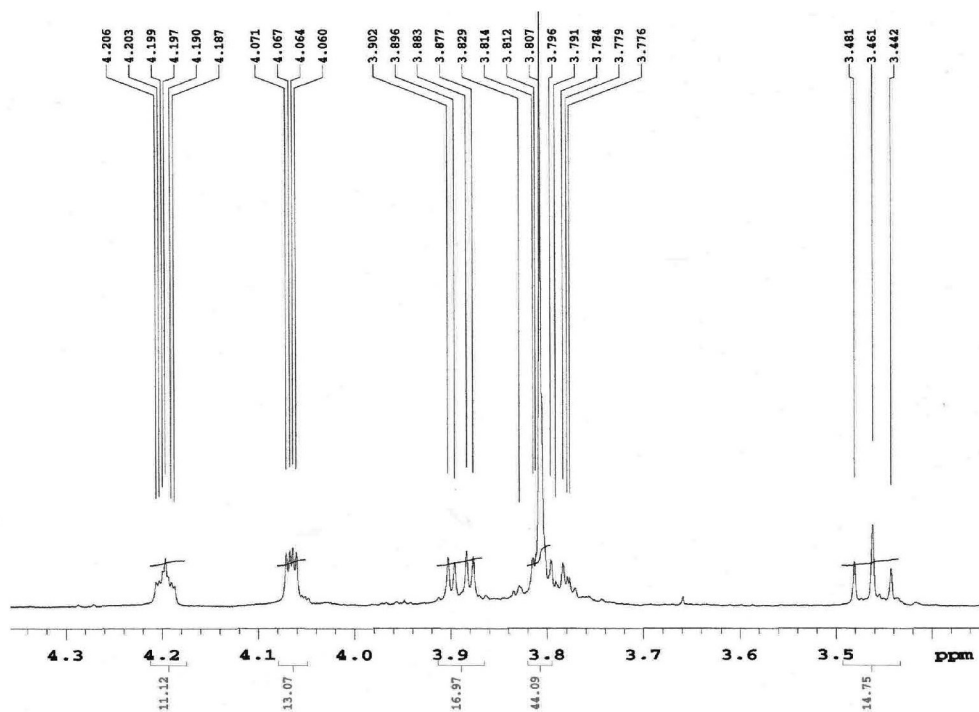


Figura 7S. Expansão do espectro de RMN  $^1\text{H}$  de 1 na região entre  $\delta_{\text{H}}$  3,4-4,2

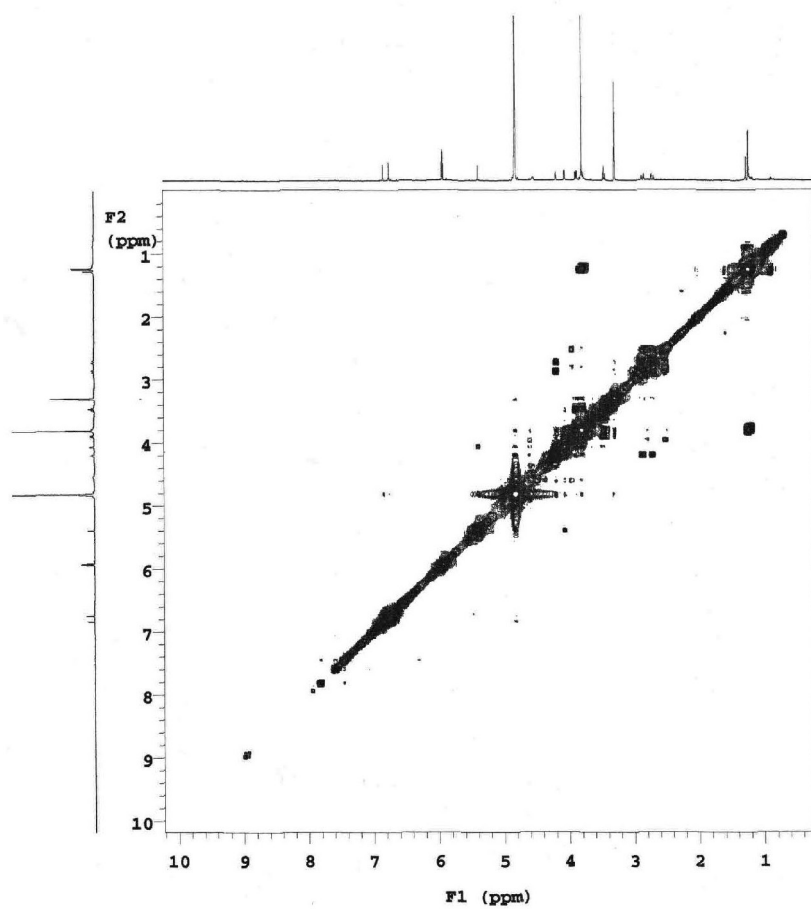


Figura 8S. Espectro de COSY a 500 MHz de 1

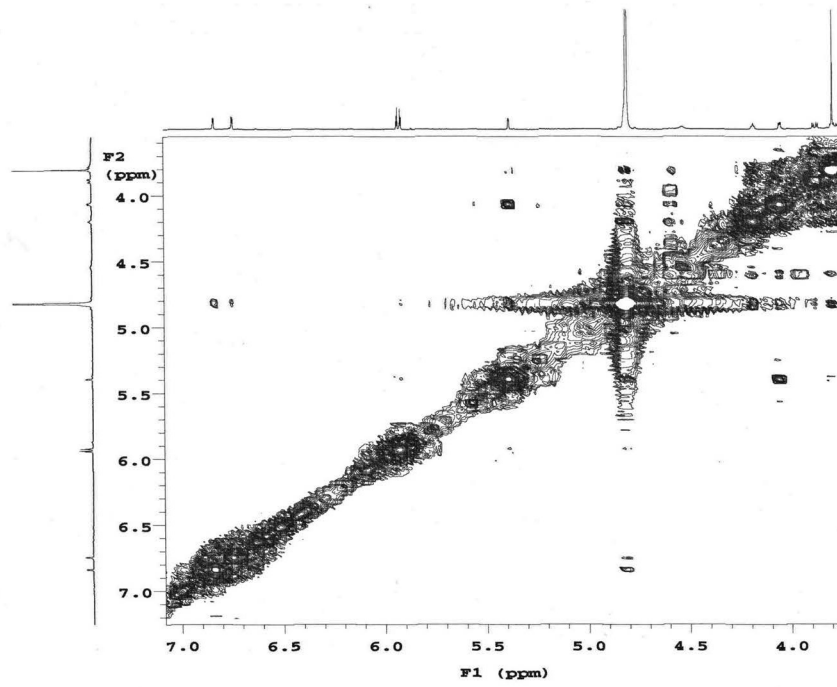


Figura 9S. Expansão do espectro de COSY a 500 MHz de 1